

# 小型采样器浅层月壤铲挖阻力预测及铲挖参数优选

梁 磊, 赵志刚, 赵 阳

(哈尔滨工业大学航天学院, 哈尔滨 150001)

**摘要:** 研究了小型采样器在月表低气压低重力环境下对浅层月壤的铲挖阻力预测及参数优选问题。通过分析采样器铲斗—月壤间的相互作用,结合三轴试验仿真得出的月壤抗剪特性和弹塑性本构关系,分别对采样器的铲斗底面推移阻力和侧壁切削阻力进行了推导,实现了对月壤铲挖阻力的预测。在此基础上,以月壤铲挖阻力和收集速率为评价依据,针对0.2m深度以内的浅层月壤采样任务,利用自适应遗传算法确定了不同尺寸铲斗的最优铲挖参数。仿真结果表明,不同铲宽的月壤采样器均对应存在一个最优的铲挖深度和铲挖角,并且随着铲宽的增加,最优铲挖深度逐渐变大,最优铲挖角逐渐变小。

**关键词:** 浅层月壤; 铲挖阻力; 小型采样器; 自适应遗传算法; 多目标优化

**中图分类号:** V476.3      **文献标识码:** A      **文章编号:** 1000-1328(2014)01-0039-08

**DOI:** 10.3873/j.issn.1000-1328.2014.01.005

## Prediction of Lunar Regolith Excavation Resistance and Optimization of Excavation Parameters for Minitype Sampler

LIANG Lei, ZHAO Zhi-gang, ZHAO Yang

(Department of Astronautics, Harbin Institute of Technology, Harbin 150001, China)

**Abstract:** Research on the minitype sampler's excavation resistance model of lunar regolith and the optimization of excavation parameters under low-gravity and low atmospheric pressure environment is conducted in this paper. The prediction model of lunar regolith excavation resistance is established, the soil cutting force and the soil penetration force are derived combined with the shear characteristics of lunar soil and its' elastic-plastic constitutive from the triaxial test simulation. On the basis of this model, for the purpose of lower resistance and higher collect ratio, optimal blade angle and blade depth in different bucket widths suitable for the lunar regolith sampling mission are determined by using the self-adapting genetic algorithm. The simulation results indicate that optimal blade angle and blade depth corresponding to different blade widths exist. With increase of the blade width, the optimal blade depth becomes larger, and the blade angle becomes smaller.

**Key words:** Lunar regolith; Excavation resistance; Minitype sampler; Self-adapting genetic algorithm; Multi-objective optimization

## 0 引言

铲挖式月壤采样是对月探测活动中收集浅层月壤的重要手段。铲挖过程中,月壤对采样器存在阻力作用,其大小由月表重力、月壤力学特性和采样器

结构共同决定。

受探测器尺寸、铲挖驱动功率的影响,月壤采样器多采用小型化设计<sup>[1]</sup>。为了高效、快速、低能耗地实现对月壤的收集,需要利用完善的铲挖阻力解析模型,对小型采样器的铲挖参数进行优化设计。

各国学者对铲挖阻力模型进行了大量的研究和试验,从土壤失效、颗粒流等不同方面对土壤挖掘阻力进行了细致分析。1964 年,Osman M 等人提出曲线失效面的概念,建立了 Osman 模型<sup>[2]</sup>,该模型精度较早期广泛使用的直线失效面模型提高很多;Gill/Vanden Berg 模型<sup>[3]</sup>在前者基础上添加了土壤惯性力与内聚力,同时对机—土摩擦力进行了简化;Swick/Perumpral 模型<sup>[4]</sup>与 McKyes 模型<sup>[5]</sup>,又分别针对二维推土板与土壤的切割过程,给出了铲挖阻力的不同数学表达式;Lockheed-Martin/Viking 模型<sup>[6]</sup>,针对斗轮式挖掘装置,提出了铲挖阻力与铲挖速度之间的非二次方关系的铲挖阻力方程。上述五种模型采用二维简化模型分析了其铲挖阻力。为考虑铲斗侧壁在铲挖过程中的切割和摩擦效应,一些学者也建立了三维铲挖阻力经验模型,典型代表有以下两种:(1) Hemami 模型<sup>[7]</sup>,将铲挖阻力分为斗内土壤重力、土壤压缩阻力、机—土滑移摩擦、推移切割阻力、土壤移动惯性力、铲挖斗移动惯性力等六种分力;(2) Balovnev 模型<sup>[8]</sup>,在前者基础上将公式中的推移切割阻力进行了进一步细化。

但是,由于成因及所处环境不同,月壤的力学性质与地面土壤存在较大的差异,导致传统的地面铲挖模型无法直接用于预测月壤的铲挖阻力。同时,对于目前研究月壤—机构交互作用中常采用的数值分析方法<sup>[9~10]</sup>,由于计算量极大,也较难用于开展参数优化工作。因此,本文利用与真实月壤应力—应变试验结果相吻合的浅层月壤离散元模型,对月表环境下的月壤抗剪强度和弹塑性本构参数进行了分析,并将分析结果引入到基于 McKyes 模型和 Kostritsyn 公式的铲挖阻力模型中,建立了浅层月壤铲挖阻力预测模型。在此基础上,针对深空探测器机构小型化、轻量化的设计需求<sup>[11]</sup>,本文基于预测模型对小型浅层月壤采样器的铲挖参数关系进行了研究,在综合考虑月壤铲挖阻力和收集速率的条件下,利用自适应遗传算法<sup>[12]</sup>对不同铲宽参数下的最优铲挖角和最优铲挖深度进行了计算。

## 1 月壤力学性质研究

### 1.1 月壤抗剪特性

基于线刚度颗粒接触理论<sup>[13]</sup>定义月壤散体颗

粒,利用文献[14]中的月壤离散元细观参数,建立月壤离散元模型。

表 1 月壤离散元细观参数

Table 1 Meso-parameters of discrete element model of lunar soil

| 细观参数名称  | 参数值        |
|---|------------|
| 颗粒密度 $\rho$ / ( $\text{kg} \cdot \text{m}^{-3}$ ) | 2900       |
| 杨氏模量 $E$ / MPa                                    | 42.5       |
| 泊松比 $\nu$   | 0.39       |
| 摩擦系数 $\mu_p$                                      | 0.75       |
| 颗粒半径 $R$ / mm                                     | 0.5 ~ 1.25 |
| 黏滞阻尼系数 $D$  | 0.84       |

根据表 1 建立轴向长度 12mm, 宽度和高度均为 6mm 的月壤离散元模型, 定义月表重力加速度  $g = 1.63 \text{ m/s}^2$ , 设置围压  $\sigma_w$  并对月壤模型施加轴向应力, 开展微型静三轴试验仿真。

由于月表无大气,且所铲挖月壤均为浅层预应力较小的月壤,故  $\sigma_w$  较低。分别设计  $\sigma_w$  为 35kPa、50kPa、65kPa、80kPa 和 95kPa 共 5 种工况,对各工况下的月壤模型开展三轴压缩试验。保持轴向应变速率为 0.003%/min, 仿真结果如图 1 所示。

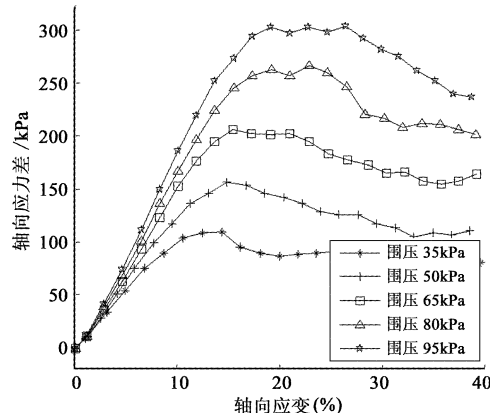


图 1 月表环境下的月壤应力—应变关系

Fig. 1 Stress-strain relationship of lunar regolith on lunar surface environment

对上述 5 种围压下的月壤应力—应变曲线进行分析,利用月壤发生剪切破坏时的大、小主应力,基于莫尔—库仑强度理论计算月表环境下的浅层月壤抗剪强度如表 2 所示。

### 1.2 月壤泊松比

在月壤三轴压缩试验中,定义  $\varepsilon_v$  为月壤体应变,  $\varepsilon_z, \varepsilon_{w1}$  和  $\varepsilon_{w2}$  分别为月壤轴向应变和两个横向应

表2 月表环境下的浅层月壤抗剪强度

Table 2 Shear strength of lunar regolith on lunar surface environment

| 抗剪强度参数                         | 计算结果   |
|--------------------------------|--------|
| 内聚力 $c$ /kPa                   | 0.5142 |
| 内摩擦角 $\varphi$ /( $^{\circ}$ ) | 39.736 |

变,有

$$\varepsilon_V = \varepsilon_z + \varepsilon_{w1} + \varepsilon_{w2} \quad (1)$$

由于三轴试验中  $\varepsilon_{w1}$  和  $\varepsilon_{w2}$  基本相等,定义  $v$  为月壤泊松比,于是有

$$v = -\frac{\varepsilon_V - \varepsilon_z}{2\varepsilon_z} \quad (2)$$

利用图1所示5种围压下的月壤应力—应变曲线对  $v$  进行计算。将月壤初始压缩阶段,即轴向应变  $\varepsilon_z = 0.5\%$  时的  $\varepsilon_V$  代入式(2)中,并对所有工况的计算结果取平均值,得月壤泊松比  $v = 0.549$ 。

### 1.3 月壤弹塑性本构

月壤具有弹塑性,其本构关系可通过一系列具有不同屈服极限的弹簧元件和摩擦元件所组成的Iwan机械模型进行描述<sup>[15]</sup>,如图2所示。

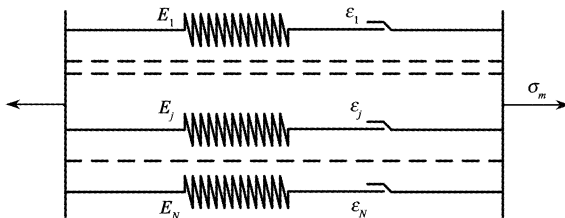


图2 并联式Iwan模型

Fig. 2 Parallel Iwan model

定义  $N$  为弹塑性元件总数,  $E_j$  为元件  $j$  的弹性模量,  $\varepsilon_j$  为元件  $j$  的屈服应变。对各弹塑性元件按屈服应变值的大小顺序递增排列,定义  $\sigma_m$  为月壤所受应力,当  $\sigma_m$  的加载作用导致月壤产生应变  $\varepsilon_m$  时,有

$$\sigma_m = \sum_{j=1}^m \varepsilon_j E_j + \varepsilon_m \sum_{j=m+1}^N E_j \quad (3)$$

式中:  $m$  为月壤所受应力为  $\sigma_m$  时,发生屈服的弹塑性元件数量,  $m \in \{1, 2, \dots, N\}$ 。

在一定的应变范围内布置  $N$  个弹塑性元件。上述  $N$  个元件各自的屈服应变取值均匀分布在设定的月壤应变范围内并逐个递增。根据式(3),分别建立  $m$  为 1 到  $N$  时的月壤弹塑性本构模型并联立,有

$$\boldsymbol{\sigma} = (\boldsymbol{\varepsilon}_p + \boldsymbol{\varepsilon}_e) \mathbf{E} \quad (4)$$

式中: 应力阵  $\boldsymbol{\sigma} = [\sigma_1, \sigma_2, \dots, \sigma_N]^T$ , 弹性模量阵  $\mathbf{E} = [E_1, E_2, \dots, E_N]^T$ ,  $\boldsymbol{\varepsilon}_p$  为塑性应变阵,  $\boldsymbol{\varepsilon}_e$  为弹性应变阵。 $\boldsymbol{\varepsilon}_p$  和  $\boldsymbol{\varepsilon}_e$  如式(5)、式(6)所示。

$$\boldsymbol{\varepsilon}_p = \begin{bmatrix} \varepsilon_1 \\ \varepsilon_1 & \varepsilon_2 \\ \vdots & \vdots & \ddots \\ \varepsilon_1 & \varepsilon_2 & \cdots & \varepsilon_N \end{bmatrix} \quad (5)$$

$$\boldsymbol{\varepsilon}_e = \begin{bmatrix} 0 & \varepsilon_1 & \varepsilon_1 & \cdots & \varepsilon_1 \\ 0 & \varepsilon_2 & \cdots & \varepsilon_2 \\ 0 & \ddots & \ddots & \vdots \\ \ddots & \ddots & \ddots & \varepsilon_{N-1} \\ 0 \end{bmatrix} \quad (6)$$

采用动三轴试验方法确定各应力阵  $\boldsymbol{\sigma}$ ,进而实现对弹性模量阵  $\mathbf{E}$  的求解。以1.1节中月壤模型为仿真试验样本,保持围压30kPa,并对月壤施加轴向应力,开展微型动三轴试验仿真。设计施加在月壤轴向的正弦型应力为  $\sigma_f$ ,有

$$\sigma_f(t) = A \sin(2\pi t/T) + \sigma_d \quad (7)$$

式中:  $\sigma_d$  为偏压固结轴向应力,  $T$  为应力周期,  $A$  为应力幅值。

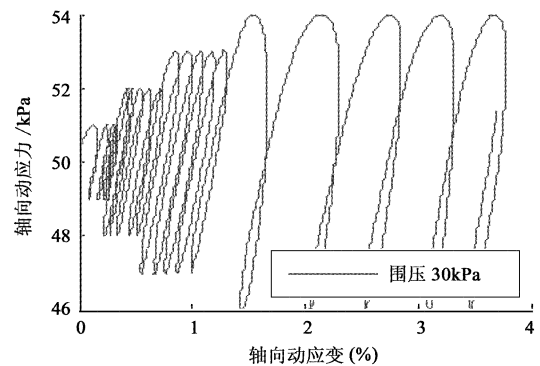


图3 月表环境下的浅层月壤动应力—动应变关系

Fig. 3 Dynamic stress-strain curve of lunar regolith

对月壤施加  $\sigma_d = 50$ kPa 的偏向固结压力,轴向动应力  $\sigma_f$  周期  $T$  为 50s。加载过程分为 4 级,每级各加载 5 个周期,各级幅值  $A$  分别为 1kPa、2kPa、3kPa、4kPa。仿真结果如图 3 所示。

根据图 3 仿真结果,移除月壤动三轴应变累积值,并定义  $\sigma_f$  各级第 3 周期的动应力—动应变曲线为参考回滞圈,根据各回滞圈顶点的动应力和动应变幅值,绘制月壤骨干曲线如图 4 所示。

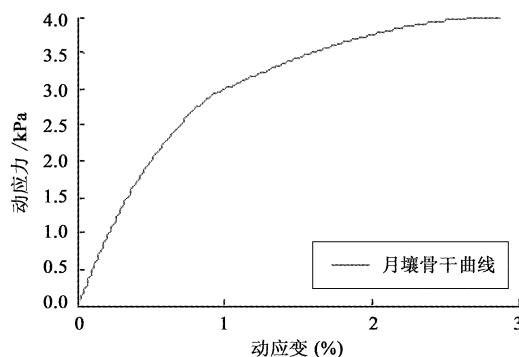


图 4 月表环境下的月壤骨干曲线

Fig. 4 Backbone curve of lunar regolith on lunar surface environment

根据图 4 的月壤骨干曲线, 定义弹塑性元件总数  $N = 14$ , 分别对 14 个元件的屈服应力  $\sigma$  进行计算, 并将其代入到式(4)中, 求解得浅层月壤弹塑性模型的弹性模量阵  $E$  如表 3 所示。

表 3 月表环境下的月壤弹塑性本构参数

Table 3 Parameters of elastic-plastic constitutive of lunar regolith

| 元件编号 | 屈服应变 $\varepsilon_j$<br>(%) | 动应力 $\sigma_j$<br>/kPa | 弹性模量 $E_j$<br>/kPa |
|------|-----------------------------|------------------------|--------------------|
| 1    | 0.1                         | 0.4915                 | 0.5852             |
| 2    | 0.3                         | 1.3575                 | 1.0634             |
| 3    | 0.5                         | 2.0108                 | 0.7736             |
| 4    | 0.7                         | 2.5094                 | 0.6486             |
| 5    | 0.9                         | 2.8783                 | 0.8146             |
| 6    | 1.1                         | 3.0843                 | 0.1502             |
| 7    | 1.3                         | 3.2602                 | 0.0769             |
| 8    | 1.5                         | 3.4207                 | 0.0846             |
| 9    | 1.7                         | 3.5644                 | 0.0922             |
| 10   | 1.9                         | 3.6895                 | 0.0999             |
| 11   | 2.1                         | 3.7947                 | 0.1076             |
| 12   | 2.3                         | 3.8784                 | 0.1152             |
| 13   | 2.5                         | 3.9391                 | 0.1229             |
| 14   | 2.7                         | 3.9751                 | 0.1803             |

将  $E$  代入式(3)中, 定义  $y$  为月壤正应变, 当  $y$  为加载特性时, 有月壤正应力

$$\boldsymbol{\sigma} = I(\mathbf{E}, y) = [\varepsilon_1, \dots, \varepsilon_m, y, \dots, y] \mathbf{E} \quad (8)$$

式中:  $\varepsilon_1, \dots, \varepsilon_m$  为应变小于  $y$  的弹塑性元件屈服应变。

同理, 定义  $\zeta$  为剪应变, 将月壤泊松比  $v$  代入式(8)中, 得月壤剪应力  $\tau$ , 有

$$\tau = I(\mathbf{G}, \zeta) = I\left(\frac{\mathbf{E}}{2(1+v)}, \zeta\right) \quad (9)$$

## 2 月壤铲挖阻力预测模型

### 2.1 铲挖阻力分析

受月壤重力、月壤抗剪强度和机—土摩擦作用的影响, 采样器铲斗在工作过程中会存在铲挖阻力。如图 5 所示, 月壤铲挖阻力由铲斗侧壁切削阻力  $F$  和底面推移阻力  $T$  组成。设计铲斗牵引速度方向保持水平, 铲挖全过程中, 铲斗底面与水平面保持铲挖角  $\beta$  并沿牵引方向对月壤产生推移作用; 铲斗侧壁在铲挖全程与水平面保持垂直并沿牵引方向对月壤进行纯切削。

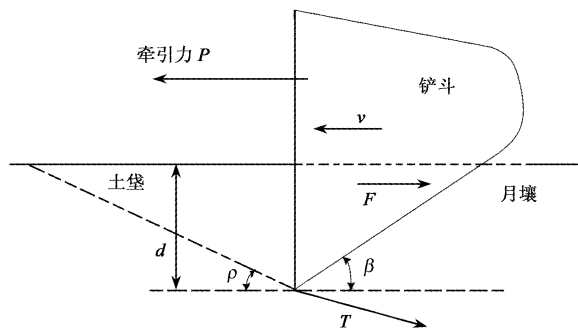


图 5 采样铲斗铲挖过程示意图

Fig. 5 Schematic diagram of excavation process of bucket

定义月壤水平铲挖阻力为  $R_H$ , 建立月壤铲挖阻力预测模型有

$$R_H = T \sin(\beta + \delta) + 2F \quad (10)$$

式中:  $\delta$  为机—土摩擦角。

### 2.2 底面推移阻力

分析月壤铲挖时的底面推移阻力  $T$ 。采样器铲斗的底面前方月壤在推移作用下会形成月壤土垡, 底面推移阻力  $T$  即由土垡重力、土垡—原位月壤间的抗剪作用、土垡—铲斗底面摩擦力和土垡惯性力共同作用而成。基于 McKyes 机—土静力平衡方程<sup>[5]</sup>建立采样器铲斗底面推移阻力模型, 有

$$\begin{cases} T = w(\gamma g d^2 N_y + c d N_c + \gamma v^2 d N_a) \\ N_y = 0.5(\cot\beta + \cot\rho)/E \\ N_c = [1 + \cot\rho \cot(\rho + \varphi)]/E \\ N_a = [\tan\rho + \cot(\rho + \varphi)]/[(1 + \tan\rho \cot\beta)E] \\ E = \cos(\beta + \delta) + \sin(\beta + \delta) \cot(\rho + \varphi) \\ \rho = (\pi - \varphi)/2 \end{cases} \quad (11)$$

式中:  $w$  为铲斗宽度,  $\gamma$  为月壤密度,  $g$  为月表重力加

速度,  $d$  为铲挖深度,  $c$  为月壤内聚力,  $v$  为铲斗牵引速度,  $\beta$  为铲挖角,  $\rho$  为月壤滑裂面倾角,  $\varphi$  为月壤内摩擦角,  $\delta$  为机—土摩擦角。

将表 2 中月表环境下的月壤抗剪强度仿真结果, 即内聚力  $c = 0.5145\text{kPa}$  和内摩擦角  $\varphi = 39.736^\circ$  代入式(11)中, 得月壤采样器的铲斗底面切削阻力模型。

### 2.3 侧壁切削阻力

分析月壤铲挖时的侧壁切削阻力  $F$ 。根据 Kostritsyn 公式<sup>[16]</sup>, 侧壁板沿月壤沿切削方向的纯切削阻力为

$$F = 2K_1A_1 \sin\left(\frac{\alpha}{2}\right) + 2K_1A_1\mu \cos\left(\frac{\alpha}{2}\right) + 2K_2A_2\mu \quad (12)$$

式中:  $K_1$  为刃面处月壤变形比阻,  $K_2$  为板面处月壤变形比阻,  $A_1$  为月壤—刃面接触面积,  $A_2$  为月壤—板面接触面积,  $\alpha$  为刀口刃角,  $\mu$  为机—土摩擦系数。

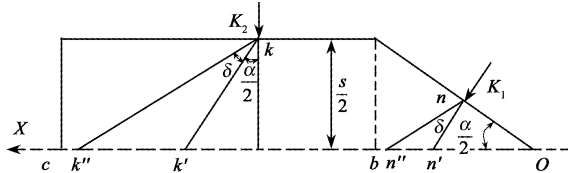


图 6 月壤变形比阻示意图

Fig. 6 Schematic diagram of deformation resistivity of lunar soil

对月壤的变形比阻进行分析。一方面, 在切削月壤过程中, 侧壁板施加在月壤上的作用力使月壤产生局部变形, 从而导致月壤切削面对侧壁板存在压力作用。如图 6 所示, 定义原点  $O$  为壁板刃尖, 切削反方向为  $X$  正向,  $s$  为壁板厚度, 通过对壁板表面  $n$  和  $k$  点的月壤颗粒运动轨迹可知, 刀面  $x$  位置的月壤变形量  $L_n$  为

$$L_n(x) = x \tan\left(\frac{\alpha}{2}\right) \sec\left(\delta + \frac{\alpha}{2}\right) \quad (13)$$

板面处月壤变形量  $L_k$  为

$$L_k = \frac{s}{2} \sec\left(\delta + \frac{\alpha}{2}\right) \quad (14)$$

另一方面, 受月壤自身重力作用的影响, 月壤的预应力随深度的增加而不断增大。该预应力导致了月壤在垂直于壁板刃面的方向存在初始应变  $\varepsilon_I$ 。由于该预应力对月壤呈现加载特性, 故利用式(8)

分析深度  $h$  处的月壤初始应变  $\varepsilon_I$ , 有

$$\boldsymbol{\varepsilon}_I(h) = \frac{\gamma gh(1 - \sin\varphi) - \boldsymbol{E}_{m+1}^T \boldsymbol{E}_{m+1}}{E_{m+1} + \dots + E_N} \quad (15)$$

式中:  $\boldsymbol{\varepsilon}_{m+1}$  为发生屈服的前  $m$  个弹塑性元件的屈服应变子矩阵,  $\boldsymbol{E}_{m+1}$  为发生屈服的前  $m$  个弹塑性元件的弹性模量子矩阵,  $E_{m+1}, \dots, E_N$  分别为未发生屈服的  $N - m$  个弹塑性元件的弹性模量。

将变形比阻的计算转化为基于月壤弹塑性本构模型的半空间问题, 定义  $\mathbf{n}$  为月壤形变方向,  $\eta$  为月壤形变量,  $f$  为刃面压力, 联立月壤的基本微分方程、应力边界条件及平衡方程, 有

$$\begin{cases} \frac{\partial I(\mathbf{E}, \frac{d\eta_z}{dz})}{\partial x} + \frac{\partial I(\mathbf{G}, \frac{d\eta_n}{dz} + \frac{d\eta_z}{dn})}{\partial n} = 0 \\ \frac{\partial I(\mathbf{E}, \frac{d\eta_n}{dn})}{\partial n} + \frac{\partial I(\mathbf{G}, \frac{d\eta_n}{dz} + \frac{d\eta_z}{dn})}{\partial z} + \\ \frac{I(\mathbf{G}, \frac{d\eta_n}{dz} + \frac{d\eta_z}{dn})}{z} = 0 \\ I(\mathbf{E}, d\eta_n/dn)_{\eta_n=0, \eta_z \neq 0} = 0 \\ I(\mathbf{G}, d\eta_n/dz + d\eta_z/dn)_{\eta_n=0, \eta_z \neq 0} = 0 \\ \int_0^\infty I(\mathbf{E}, d\eta_n/dn) 2\pi z dz + f = 0 \end{cases} \quad (16)$$

对壁板刃面处的月壤变形比阻  $K_1$  和板面处的月壤变形比阻  $K_2$  进行分析。由于切削过程中壁板对月壤不断挤压, 故该位置的月壤应变呈现加载特性。考虑月壤初始应变  $\varepsilon_I$ , 结合式(15)和式(16), 采用数值方法对  $\eta_n = L_n(x)$  和  $\eta_n = L_k$  时的  $f$  进行计算, 得壁板的机—土接触面各位置的月壤变形比阻为

$$K_1 = f(L_n(x), \varepsilon_I) \sin\delta \quad (17)$$

$$K_2 = f(L_k, \varepsilon_I) \sin\left(\frac{\alpha}{2}\right) \sin\delta \quad (18)$$

分析铲斗侧壁板对月壤的切削过程, 如图 7 所示。

定义  $b$  为侧壁板刀刃长度, 且切削深度  $h$  与侧壁板长度  $x$  间存在  $x = x(h)$ , 则侧壁切削阻力  $F$  为

$$\begin{cases} F = F_{11} + F_{12} + F_2 \\ F_{11} = 2 \sin\left(\frac{\alpha}{2}\right) \int_0^d \int_0^b K_1(h, x) dx dh \\ F_{12} = 2\mu \cos\left(\frac{\alpha}{2}\right) \int_0^d \int_0^b K_1(h, x) dx dh \\ F_2 = 2\mu \int_0^d [X(h) - b] K_2(h) dh \end{cases} \quad (19)$$

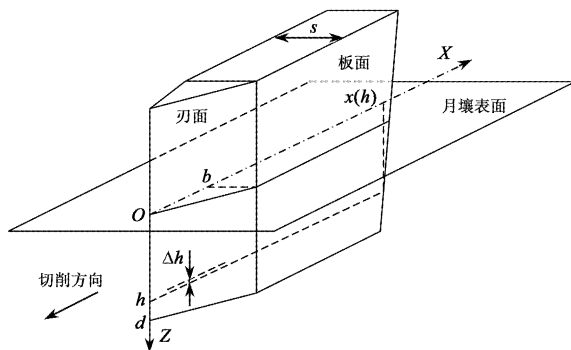


图 7 侧壁切削过程示意图

Fig. 7 Schematic diagram of cutting using side plane

式中:  $F_{11}$  为刃面月壤推移阻力,  $F_{12}$  为刃面月壤摩擦阻力,  $F_2$  为板面月壤摩擦阻力。

### 3 铲挖参数优化设计

#### 3.1 铲挖优化方案

根据式(10), 在给定采样器铲宽  $w$  的条件下, 铲挖深度  $d$ 、牵引速度  $v$  和铲挖角  $\beta$  是决定月壤铲挖阻力  $R_H$  的 3 个最重要影响参数。其中,  $d$ 、 $v$  的减小会导致  $R_H$  的变小;  $\beta$  的减小会导致  $R_H$  先变小后变大。

另外, 采样任务的风险性和不可预知性使对月壤的铲挖过程需在尽可能短的时间内完成。定义月壤样本收集速率  $V$ , 有

$$V = vwd \quad (20)$$

分析可知,  $d$ 、 $v$  的减小在降低  $R_H$  的同时, 也带来了  $V$  减小的劣势。为了解决月壤高效率铲挖中关于较大的  $V$  与较小的  $R_H$  之间的冲突, 有必要利用多目标优化理论对铲挖参数进行优化设计。

考虑采样机构整体尺寸大小及安装放置条件, 以典型的凤凰号(Phoenix)探测器采样铲斗的工作参数<sup>[17]</sup>为参考, 设计待优选铲挖参数  $d$ 、 $v$  和  $\beta$  的决策变量集  $X$  如表 4 所示。

表 4 铲挖参数优化取值范围

Table 4 Range of excavation parameters in optimization

| 铲挖参数                      | 下界 | 上界   |
|---------------------------|----|------|
| 铲挖深度 $d/m$                | 0  | 0.30 |
| 铲挖速度 $v/(m \cdot s^{-1})$ | 0  | 0.02 |
| 铲挖角 $\beta/(^\circ)$      | 10 | 50   |

根据多目标优化问题(MOP), 以月壤收集速率  $V$  和月壤铲挖阻力  $R_H$  为目标对铲挖参数进行优化, 通过调整  $d$ 、 $v$  和  $\beta$ , 使  $R_H$  尽可能小,  $V$  尽可能大。设

计目标函数为

$$\begin{cases} \min(y) = F(\mathbf{x}) = (f_1(\mathbf{x}), 1/f_2(\mathbf{x})) \\ f_1(\mathbf{x}) = R_H(\mathbf{x})/R_{H_m} \\ f_2(\mathbf{x}) = V(\mathbf{x})/V_m \end{cases} \quad (21)$$

式中,  $\mathbf{x} = (d, v, \beta) \in X$ ;  $V_m$  为决策变量范围内的最大月壤样本收集速率;  $R_{H_m}$  为决策变量范围内的最大月壤铲挖阻力。

采用权函数法对  $F(\mathbf{x})$  进行处理, 分别对  $f_1$  和  $f_2$  给出权系数  $\lambda_1$  和  $\lambda_2$ , 有优化评价函数

$$U = U(\lambda_1 f_1(\mathbf{x}) + \lambda_2 f_2(\mathbf{x})) \quad (22)$$

式中,  $\lambda$  满足  $\lambda_1 + \lambda_2 = 1$ ,  $\lambda_1, \lambda_2 > 0$ 。

#### 3.2 基于动态算子概率的寻优策略

采用动态算子概率的自适应遗传算法<sup>[12]</sup>对月壤采样时的铲挖参数进行优选, 根据种群进化过程中目标函数相似度的变化, 对交叉概率和变异概率进行实时调整, 保证优选结果能够收敛至全局最优解。

定义  $i$  为种群进化代数, 采用相似系数  $\kappa$  描述第  $i$  代种群中各目标函数值的相似程度, 有

$$\kappa(Y_i) = \frac{\min(Y_i)}{E(Y_i) - \min(Y_i)} \cdot \frac{1}{\sqrt{D(Y_i)}} \quad (23)$$

式中,  $Y_i$  为第  $i$  代的种群目标函数值集合。随着进化代数  $i$  的增大,  $Y_i$  的期望值和方差逐渐变小, 相似系数  $\kappa$  逐渐变大, 种群个体差异变小, 进化趋向收敛。

定义种群个体交叉算子概率  $P_c$  的变化范围为  $[0.4, 0.9]$ , 变异算子概率  $P_m$  的变化范围为  $[0, 0.1]$ , 建立以 Logistic 方程为基础的调节公式, 如式(24)所示。

$$\begin{cases} P_c(\kappa) = \frac{1}{1 + e^{\kappa+\ln 1}} + 0.4 \\ P_m(\kappa) = \frac{1}{1 + e^{-\kappa-\ln 9}} - 0.9 \end{cases} \quad (24)$$

### 4 仿真算例

设计采样器铲宽  $w$  分别为  $0.1\text{m}$ 、 $0.15\text{m}$ 、 $0.2\text{m}$ 、 $0.25\text{m}$  和  $0.3\text{m}$ , 以式(22)为优化评价函数, 采用基于动态算子概率的自适应遗传算法对月壤铲挖角  $\beta$ 、月壤铲挖深度  $d$  和铲斗牵引速度  $v$  进行优化, 各决策变量取值范围如表 4 所示。考虑月壤采样任务中以铲挖阻力  $R_H$  为主要指标, 月壤样本收集速率  $V$  为次要指标, 定义目标函数权系数  $\lambda_1 = 0.6$ ,  $\lambda_2 = 0.4$ 。

根据表 5 所示的自适应遗传算法参数对月壤铲挖参数进行优化。图 8 显示了铲宽  $w = 0.3\text{m}$  条件下的铲挖参数优化过程。优化结果表明,5 个铲宽条件下的铲挖参数均收敛至最优解。

表 5 自适应遗传算法设计参数

Table 5 Design parameters of self-adaptor GA

| 遗传算法设计参数 | 参数值 |
|----------|-----|
| 种群数量     | 30  |
| 最大遗传代数   | 50  |
| 二进制位数    | 32  |
| 决策变量长度   | 3   |
| 代沟       | 0.8 |
| 初始交叉概率   | 0.9 |
| 初始变异概率   | 0   |

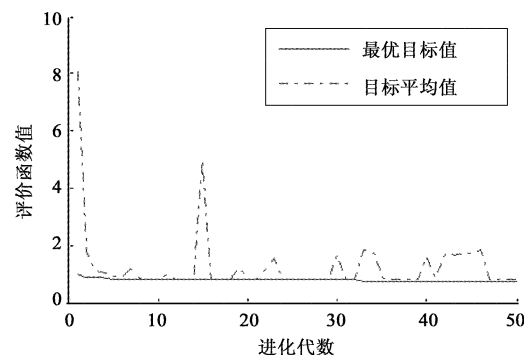


图 8 月壤铲挖参数优化过程

Fig. 8 Optimization process of lunar soil excavation parameters

经过计算,各个铲宽条件下的最优铲挖参数、月壤铲挖阻力和月壤收集速率如表 6 所示。

表 6 月壤铲挖参数优化结果

Table 6 Optimization result in the plan of minimum resistance

| 铲斗宽度 $w/\text{m}$ | 铲挖深度 $d/\text{cm}$ | 牵引速度 $v/(\text{m}/\text{s})$ | 铲挖角 $\beta/^\circ$ | 铲挖阻力 $R_H/\text{N}$ | 收集速率 $V/(\text{m}^3/\text{s})$ |
|-------------------|--------------------|------------------------------|--------------------|---------------------|--------------------------------|
| 0.10              | 16.02              | 0.02                         | 15.52              | 29.22               | $3.2 \times 10^{-4}$           |
| 0.15              | 16.41              | 0.02                         | 14.20              | 36.48               | $4.9 \times 10^{-4}$           |
| 0.20              | 16.58              | 0.02                         | 13.60              | 44.01               | $6.6 \times 10^{-4}$           |
| 0.25              | 16.86              | 0.02                         | 13.24              | 52.02               | $8.4 \times 10^{-4}$           |
| 0.30              | 17.55              | 0.02                         | 12.97              | 64.18               | $1.0 \times 10^{-3}$           |

由表 6 中的最优牵引速度计算结果可以看出,不同的铲宽条件下,铲斗牵引速度  $v$  均为优化取值范围上限,说明针对小尺寸采样器的浅层月壤铲挖,  $v$  对铲挖阻力  $R_H$  的影响不大。通过对月壤铲挖阻力的分析可知,  $v$  是铲斗底面推移阻力  $T$  中月壤土垡惯性力部分的重要影响因素,但由于浅层月壤小尺寸铲挖条件下,月壤土垡总质量较小,从而月壤土垡惯性力远小于  $T$  中的其他组成部分,最终导致  $v$  对铲挖阻力  $R_H$  的影响不大。

另外,由表 6 中的最优铲挖深度  $d$  和月壤铲挖角  $\beta$  可以看出,各个铲宽条件下均存在一个  $\beta$  和  $d$  的最优值,且随着  $w$  从  $0.1\text{m}$  增加至  $0.3\text{m}$ ,  $\beta$  的最优值逐渐由  $15.52^\circ$  递减至  $12.97^\circ$ ,而  $d$  的最优值逐渐由  $16.02\text{cm}$  递增至  $17.55\text{cm}$ 。

## 5 结 论

本文利用离散元法建立了浅层月壤的 Iwan 弹塑性本构方程,通过基于 Kostritsyn 土壤纯切削公式和 Mckyes 机—土静力平衡方程,分别对采样器铲斗

侧壁切削阻力和底面推移阻力进行了分析,建立了浅层月壤铲挖阻力预测模型。在此基础上,利用该预测模型,对铲宽小于  $0.3\text{m}$  的小型铲挖式采样器的浅层月壤最优铲挖参数进行了优化,得到结论如下:

(1) 针对小尺寸浅层月壤采样器,其牵引速度对铲挖阻力影响不大,但可有效增加样本收集速率,因此铲斗牵引速度可在驱动机构及控制器允许的前提下适度增大。

(2) 综合考虑铲挖阻力和样本收集速率,小尺寸浅层月壤采样器的最佳月壤铲挖深度约在  $16\text{cm}$  ~  $18\text{cm}$  范围内,并随着铲斗宽度的增大略有增加。

(3) 月壤采样器最佳铲挖角约在  $12^\circ$  ~  $16^\circ$  范围内,并随着铲斗宽度的增大逐渐降低。

以上工作对以浅层月壤为对象的铲挖阻力开展了分析,并对采样过程中的最优铲挖参数进行了计算。上述结论对机器人自主采样,特别是针对我国在月球二、三期探测计划中关于小型无人月壤采样器的研制,具有一定的工程参考价值。

## 参 考 文 献

- [ 1 ] 卢伟, 宋爱国, 凌云. 面向浅层月壤的小型取样器研究 [J]. 宇航学报, 2011, 32(9): 2065–2073. [ Lu Wei, Song Ai-guo, Ling Yun. Research on the sampler for shallow lunar regolith [J]. Journal of Astronautics, 2011, 32(9): 2065–2073. ]
- [ 2 ] Osman M. The mechanics of soil cutting blades [J]. Journal of Agricultural Engineering, 1964, 9(4): 313–328.
- [ 3 ] Gill W, VandenBerg G. Agriculture handbook no. 316 [M]. Washington DC: Agricultural Research Service, US Department of Agriculture, 1968.
- [ 4 ] Swick W C, Perumpral J V. A model for predicting soil-tool interaction [J]. Journal of Terramechanics, 1988, 25(1): 43–56.
- [ 5 ] McKyes E. Soil cutting and tillage [M]. Amsterdam: Elsevier, 1985.
- [ 6 ] Muff T, King R H, Duke M B. Analysis of a small robot for Martian regolith excavation [C]. AIAA Space 2001 Conference & Exposition, Albuquerque, USA, August 28–30, 2001.
- [ 7 ] Hemami A, Daneshmend L. Force analysis for automation of the loading operation in an LHD-loader [C]. IEEE International Conference on Robotics and Automation, Nice, France, May 12–14, 1992.
- [ 8 ] Balovnev V I. New methods for calculating resistance to cutting of soil [M]. New Delhi: Amerind Publishing Company, 1983.
- [ 9 ] Perkins S, Madson C. Mechanical and load-settlement characteristics of two lunar soil simulants [J]. Journal of Aerospace Engineering, 1996, 9(1): 1–9.
- [10] 梁东平, 柴洪友. 着陆冲击仿真月壤本构模型及有限元建模 [J]. 航天器工程, 2012, 21(1): 18–24. [ Liang Dong-ping, Chai Hong-you. Lunar soil constitutive model and finite element modeling for landing impact simulation [J]. Spacecraft Engineering, 2012, 21(1): 18–24. ]
- [11] 卢波. 21世纪空间探测的发展趋势及其小型化技术研究 [C]. 中国空间科学学会空间探测专业委员会第十五次学术会议, 安徽池州, 2002年10月.
- [12] 任子武, 伞治. 自适应遗传算法的改进及在系统辨识中的应用研究 [J]. 系统仿真学报, 2006, 18(1): 41–66. [ Ren Zi-wu, San Ye. Improved adaptive genetic algorithm and its application research in parameter identification [J]. Journal of System Simulation, 2006, 18(1): 41–66. ]
- [13] 李伟, 朱德懋, 胡选利, 等. 不连续散粒体的离散单元法 [J]. 南京航空航天大学学报, 1999(1): 85–91. [ Li Wei, Zhu De-mao, Hu Xuan-li, et al. Discrete element method of discontinuous granular media [J]. Journal of Nanjing University of Aeronautics & Astronautics, 1999(1): 85–91. ]
- [14] 邹猛. 月面探测车辆驱动轮牵引性能研究 [D]. 长春: 吉林大学, 2008. [ Zou meng. Study of traction ability for driving wheel of the Lunar rover [D]. Changchun: Ji Lin University, 2008. ]
- [15] Iwan W D. On a class of models for the yielding behavior of continuous and composite [J]. Journal of Applied Mechanics, 1967, 34(3): 612–617.
- [16] Kostritsyn A K. Resistance of soil to tillage tools of soil-working implements [M]. Washington DC: Al Ahram Center for Scientific Translations, 1981.
- [17] Smith P H, Tamppari L, Arvidson R E, et al. Introduction to special section on the Phoenix Mission: landing site characterization experiments, mission overviews, and expected science [J]. Journal of Geophysical Research: Planets (1991–2012), 2008, 113(E3): 2156–2202.

**作者简介:**

梁磊(1983-),男,博士生,主要从事月壤浅表层采样的机—土耦合作用的研究。

通信地址:哈尔滨工业大学359信箱(150001)

电话:(0451)86417756

E-mail: lianglei@hit.edu.cn

(编辑:曹亚君)